

Teratoma do ovario com estruturas semelhando cristalino *

pelos

Drs. C. Magarinos Torres, José M. Sampaio e Hilde Adler
(Com 4 estampas)

No Serviço de Necropsias do Hospital São Francisco de Assis, Rio de Janeiro, a cargo do Instituto Oswaldo Cruz, observamos um teratoma do ovario cujo estudo histológico revelou ser de grande interesse.

Com efeito, na literatura especial consultada, na qual se destaca o trabalho de Willis (1935), não conseguimos encontrar outro com a estrutura peculiar que vamos referir.

Necropsia (n.º 3.625) — M. M., brasileira (Estado da Paraíba), com 48 anos de idade, falecida às 7 horas de 10 de Fevereiro de 1938, necropsiada às 11 horas do mesmo dia.

Cadáver de uma mulher de côr parda, em más condições de nutrição, medindo 1 m. 50 de comprimento, pesando 45 quilos. As conjuntivas e tegumento cutaneo mostram uma coloração amarela. Pupilas igualmente dilatadas. Dentes em mau estado de conservação. Seios atrofiados. Abdomen fortemente tenso, dando a sensação de flutuação. Pêlos crespos, grisalhos, com a distribuição normal na raça. Cicatrizes despigmentadas extensas, na perna direita. Edema das paredes do abdomen. Rigidez cadáverica presente e acentuada.

Ao corte, as camadas gordurosa e muscular reduzidas. A cavidade do peritoneo contém 7 litros de líquido limpidão, amarelo-esverdeado. O peritoneo parietal apresenta nódulos confluentes, de coloração amarelo-alaranjada, comunicando um aspéto rugoso ao peritoneo. Nódulos com aspéto semelhante, menos numerosos, no mesenterio e peritoneo visceral. Diafragma na altura da quarta costela, de ambos os lados. O fígado não atinge o rebordo costal, excedendo o apêndice xifoide na extensão de 4,5 cms.

TORAX — Espaço precordial descoberto em extensão normal, medindo 12 cms. de base, por 8 cms. de altura. Coração perfeitamente móvel dentro do saco fibroso do pericardio, o qual contém cerca de 20 c.c. de líquido limpidão. Em ambas as cavidades pleurais existe pequena quantidade de líquido, medindo 100 c.c. à direita, e 30 à esquerda. Ambos os pulmões apresentam aderências circunscritas, fibrosas, ao nível do ápice.

* Recebido para publicação a 19 de Dezembro de 1939 e dado à publicidade em Abril de 1940.

Pulmões de volume normal, pesando o direito 300 grs., e o esquerdo, 290 grs. A pleura é espessada, ao nível do ápice, dando inserção a membranas fibrosas. Pela palpação aí são sentidos nodulos os quais, ao corte, mostram-se calcificados. A superficie do corte revela evidente aumento do tecido conjuntivo, na região do ápice, sendo humida, de coloração variegada, ora rosea-clara, ora vermelha-escura, nos demais lóbulos. No lóbulo superior do pulmão esquerdo existem nodulos, de côr cinzenta-esbranquiçada, proeminentes, regularmente disseminados, os quais não aparecem nos demais lóbulos. Coração pesa 166 grs., sendo menor que o punho do cadáver; mede 10,5 x 8 x 4 cms. Gordura epicardial desenvolvida. Ao corte, as cavidades são diminuídas de capacidade, medindo as paredes do ventrículo direito 3 mms., e as do esquerdo, 1,5 cms. de espessura. Grande valva da mitral opaca, apresentando placas amarelas que comprometem a sua flexibilidade. Demais valvas livres e flexíveis, todas mostrando leve coloração amarela. Musculatura firme, de côr castanha muito escura, sem aumento aparente do tecido conjuntivo. Coronárias de calibre normal. Tunica interna da aorta, lisa, amarela e brilhante. Baço pesa 140 grs., medindo, sobre a convexidade 11 x 8,5 x 4 cms. Na capsula enrugada existem, irregularmente distribuídas, saliências de côr amarela-alaranjada. Consistência diminuída. Superficie do corte humida, de côr vermelha-pardacenta, escura. O tecido conjuntivo é mais aparente que em condições normais; o tecido linfoide é obscurecido. A polpa não é difluente. Suprarrenais com a camada cortical de côr amarela. Rim direito pesa 108 grs., medindo 9,5 x 5 x 3 cms. Rim esquerdo pesa 111 grs., medindo 11,5 x 5 x 3 cms. A capsula é espessada, destacando-se com facilidade, deixando a descoberto uma superficie aspera, mas não distintamente granulosa. Ao corte, a camada cortical é adelgizada, de modo irregular, mostrando coloração castanha-escura-avermelhada, pouco diferente da das pirâmides. Mucosa dos calices, bassinetes e ureteres, palida, lisa e brilhante. Vesicula biliar de forma esférica, com as paredes espessadas, dando inserção a membranas fibrosas. Contém 100 c.c. de líquido turvo, côr de chocolate, e bem assim, um cálculo do tamanho de uma azeitona. Superficie interna esbranquiçada, modificada em seu aspeto habitual. Fígado diminuído de tamanho, pesando 1150 grs., medindo 22 x 13 x 6,5 cms. A capsula é espessada, de modo uniforme, sendo a superficie do órgão distintamente granulosa. Em certos pontos aparecem nodulos alaranjados, com tendência a confluirem, semelhantes aos descritos no peritônio. O espessamento da capsula é acentuado junto ao sulco da vesicula biliar. A superficie do corte mostra considerável aumento do tecido conjuntivo na vizinhança dos espaços-porta, não havendo, comtudo, um retículo de tecido conjuntivo circumscrevendo grandes e pequenos pseudoacini, tal como na cirrose atrofica. A coloração geral da superficie do corte é verde-escura-castanha, sendo o desenho lobular obscurecido. Utero de volume normal. Ovario direito de volume normal, mostrando, ao corte, numerosos corpora fibrosa. Ovario esquerdo aumentado de volume, parecendo constituído por dois nodulos juxtapostos entre os quais existe profundo sulco; cortado, revela numerosas pequenas vesículas, separadas por tecido conjuntivo.

Craneo — Não foi examinado.

EXAME MICROSCOPICO:

Ovario esquerdo — O material consta de dois blocos de parafina correspondendo, respectivamente, aos dois nódulos separados por profundo sulco, mencionados na descrição macroscópica.

Primeiro bloco: A preparação histológica corresponde a um fragmento de tecido medindo 14 x 11 milímetros de lado. Distingue-se uma estreita zona marginal formada por células fusiformes, com citoplasma escasso, formando feixes entrecruzados. Tal tecido semelha o estroma da *cortex ovariana*, não encerrando, porém, folículos primordiais, ou em via de crescimento. A quasi totalidade dos tecidos é constituída por cistos, de dimensões variáveis, separados por delgadas traves fibrosas (Fig. 1). Em uma das extremidades do preparado aparecem dois cistos maiores, medindo, respectivamente, 4 x 2 milímetros e 2,5 x 1,5 milímetros. Os demais cistos são de pequenas dimensões, muito variáveis; alguns medem 1300 x 850 μ , 1000 x 850 μ , 650 x 650 μ , outros 500 x 350 μ , 300 x 220 μ , e 180 x 150 μ .

Quaisquer que sejam as suas dimensões, o cisto mostra-se constituído por um epitélio de revestimento prismático, simples, por vezes ciliado (Fig. 1). Outras vezes o epitélio, no mesmo cisto, mesmo quando de pequenas dimensões, torna-se estratificado, em pequeno número de camadas. Os nucleos ocupam, geralmente, a porção basilar, outras vezes a zona média da célula.

O revestimento epitelial não é continuo; em certos pontos a parede do cisto é formada, apenas, por tecido conjuntivo (Fig. 2).

O epitélio repousa sobre uma membrana vitrea formada, ela, em parte, por tecido conjuntivo não diferenciado, de modo nitido, do estroma ovariano (Fig. 1).

O detalhe histológico de maior importância, porém, é representado pela estrutura fibrilar do próprio conteúdo do cisto (Figs. 1, 2, 4 e 5).

Tal estrutura fibrilar é aparente quer nos cistos de pequenas dimensões (Fig. 1), quer nos de média e de grandes dimensões, quer, ainda, em cistos com alterações regressivas, das quais resultaram a inteira descamação e perda do epitélio de revestimento (Figs. 4 e 5).

Insistimos em afirmar que é esse o detalhe característico do presente teratoma, permitindo diferencial-o de outras formações císticas habituais no ovario (cistos dermoides, cistos derivados do canal neuro-epitelial, formações ependimárias nos teratomas, rosetas ependimárias, etc.).

Ao lado da substância fibrilar aparece, notadamente nos cistos pequenos (Fig. 1), uma substância amorfa, palidamente corada pela eosina, dando a impressão de líquido albuminoso ou substância coloide.

Pelo método de Mallory (azul de anilina-orange G), as fibras se coram, ora em azul da Prussia, ora em amarelo-laranja. Uma disposição paralela das fibras aparece na maioria dos cistos (Fig. 4). Nos espaços claros por elas circunscritos aparecem granulos de tamanho variável, os maiores corados em vermelho, os menores em amarelo-laranja (método de Mallory).

Em alguns cistos aparece delgado arcabouço conjuntivo interposto entre o complexo fibrilar o qual forma o conteúdo do cisto (Figs. 4 e 5). Comtudo é um aspecto excepcional; na maioria dos cistos, as fibras correm paralelamente, de uma face até outra, sem interposição de qualquer outra estrutura (os três cistos inferiores na Fig. 4).

Notamos que a existencia desse travejamento conjuntivo está em relação com outros detalhes estruturais relacionados com alterações regressivas dos cistos. Assim ele é desenvolvido, de preferencia, nos cistos de pequenas dimensões, desprovidos de epitelio de revestimento (cisto superior, na figura 4). Desse modo surge a possibilidade de que tal travejamento corresponda a uma organização conjuntiva de cistos em via de desintegração. E' bem verdade que um aspéto tão regular das traves conjuntivas neoformadas, e, especialmente, a individualização de delgados septos fibrosos, nunca se verifica no tecido conjuntivo de nova formação ligado a processos de reparação. No caso presente surge, porém, a possibilidade do tecido conjuntivo de nova formação ter sido orientado pelas fibrilas pre-existentes (formações do cristalino), o que lhes teria comunicado características peculiares.

As fibras não se coram pela hematoxilina ferrica.

Segundo bloco: A preparação histologica corresponde a um fragmento de tecido medindo 12 x 9 milímetros de lado.

Tal como o primeiro fragmento, ele é limitado por estreita orla de tecido conjuntivo semelhando o estroma da *cortex ovariana*. Já nessa zona existem pequenas cavidades císticas, medindo 15 x 10 μ , 15 x 7 μ , 12 x 8 μ , 10 x 8 μ , 9 x 7 μ , as quais alternam, mais internamente, com outras de médias e grandes dimensões, medindo, respectivamente, 500 x 450 μ , 1100 x 750 μ , 1200 x 850 μ e 1900 x 1250 μ .

A estrutura dos cistos é exatamente a mesma referida em relação ao primeiro bloco.

Chama a atenção, em ambos os fragmentos, modificações na estrutura de alguns cistos, as quais interpretamos como alterações regressivas (descamação do epitelio de revestimento, o qual se acumula na cavidade cística). A mesma interpretação damos á formação de células gigantes multinucleadas nas paredes dos cistos (Fig. 3), as quais resultam do fusionamento das células epiteliais de revestimento. As massas sincitiais, de citoplasma eosinofilo, com numerosos nucleos, não existem em todos os cistos. Nos de pequenas dimensões ocupam, ora a propria parede interna, ora a sua cavidade; quando tal acontece, as células gigantes localisam-se em areas onde a estrutura fibrilar do material é pouco aparente, ou mesmo não existe; o conteúdo do cisto é, então, homogeneo, corado fracamente pela eosina. As formações sincitiais, ou células gigantes multinucleadas, nunca foram encontradas no tecido conjuntivo interposto entre os cistos.

Formações sincitiais semelhantes são referidas por Heijl (1921), em seus casos 8 e 20, e por ele relacionadas com a desintegração de substancia nervosa e de tecido nevroglico, em teratomas do ovario. Assim, tambem em seus casos, as células gigantes denotariam a existencia de alterações regressivas em teratoma.

Peritoneo — Tuberculose.

Trompa — Salpingite tuberculosa.

Pulmão — Tuberculose crônica.

Figado — Atrofia das traves de células hepaticas em alguns lóbulos, associada a proliferação (discreta) de tecido conjuntivo, quer nos lóbulos, quer nos espaços-porta. Infiltração linfocitaria dos espaços-porta. Infiltração gordurosa

degenerativa (discreta) e congestão crônica passiva. Pequenas concreções na luz dilatada de canaliculos biliares, nos espaços-porta. Ictericia.

Rim — Aumento no numero de nucleos nos glomerulos. Obliteração de capilares no tufo vascular. Dilatação de alguns espaços capsulares. Exagero da lobulação dos glomerulos. Proliferação do tecido conjuntivo intersticial, em pequenos focos. Concreções na luz dilatada de algumas peças intercalares.

Suprarenal — Hiperemia. Degenerescencia lipoide. Adenomas multiplos.

DIAGNOSTICO ANATOMICO:

Tuberculose do peritoneo. Ascite (7.500 c.c.). Tuberculose peribronquica do lóbo superior do pulmão esquerdo. Tuberculose crônica fibrosa do ápice de ambos os pulmões. Hidrotorax bilateral (leve). Salpingite tuberculosa esquerda. Hepatite intersticial crônica. Colecistite calculosa. Ictericia. Glomerulo-nefrite crônica. Atrofia e fibrose do baço. Teratoma do ovario esquerdo. Caquexia.

DISCUSSÃO

Passando em revista a literatura sobre neoplasmas do ovario, não encontramos nenhum ao qual pudessemos identificar o caso aqui apresentado.

Nenhuma semelhança histologica revela com o foliculoma¹ (Muller, 1934), o disgerminoma² (Dworzak, 1935), os tumores do tipo Brenner (ooforoma), o hipernefroma, o luteoma, os tumores raros do ovario compostos de tecido da glandula suprarenal (« adrenal blastomas of the ovary », Novak, 1938). Egualmente nenhuma analogia apresenta com os diversos tipos histologicos de arrenoblastoma³ (Novak, 1938).

Nos casos raros de grandes cistos mesentericos de provavel origem ovariana, a estrutura é a de um cistadenoma papilar (Luker, 1938).

Vê-se bem, examinando as figuras de Gosset & Masson, 1913, que as estruturas císticas encontradas no teratoma aqui descrito, não correspondem a rosetas ependimarias. Estas mostram, com efeito, cavidade diminuta, sem nenhum conteúdo aparente.

Willis (1935) descreve 17 teratomas do ovario, « studied by the serial slab method », nenhum dos quais semelha o agora descrito. A hipótese dos cistos encontrados em nosso caso, representarem cavidades alimentares ou, então, tecido renal imaturo, deve ser excluída, tendo em conta a descrição e as figuras 18, 21 e 32 do trabalho de Willis (1935). É para notar que, quando se trata de estruturas organoides semelhando

¹ Sinonimia : — “Granulosazelltumor”, “follikuloider Tumor”, “Zylindrom” (Tunis, 1934).

² Sinonimia : — “Grosszelliges alveoläres Sarkom”, “Karzinosarkom”, “Embryonalkarzinom”, “Epithelioma chorioectodermale”, “Endothelioma vel Lymphoangioendothelioma ovarii”, “Seminom”, “solider Grauulosazelltumor”, “solides grosszelliges Oxarialkarzinom”, “Carcinoma ovarii puellarum” (Tunis, 1934).

³ Sinonimia : — “Andreblastom”, “Masculinom”, “Adenoma tubulare” (Tunis, 1934).

tubo digestivo presentes em teratomas, aparece sempre uma tunica muscular associada ás formações epiteliais. Verifica-se, aliás, esse fato, na evolução histologica das paredes intestinais, conforme se aprecia nas figuras 289, 294, 295 e 296 do livro de Broman (1911).

No embrioma do ovario com estrutura nervosa predominante, descrito por Cornil, Carcassone, Mosinger & Paillas (1936), aparecem formações ependimo-coroidéas, meninges moles, células nervosas abundantes, estruturas tais diversas das observadas em nosso caso.

No tumor maligno complexo descrito sob o nome de « rhabdo-leio-myo-neuro-carcino-sarcoma » (Wallart & Scheidegger, 1936), não existem cistos com estrutura semelhante aos do nosso teratoma.

E' comum, nos teratomas, a existencia de neuro-epitelio revestindo tubulos, canais ou cavidades, as quais são, comtudo, inteiramente vasias (figuras 1, 3, 4 e 6 do trabalho de Willis, 1936). As formações neuro-epiteliais estão, ordinariamente, circundadas por tecido nervoso (tecido nevroglico tipico contendo astrocitos, ependima, plexus coroides, etc.). Tal tecido nervoso forma-se em consequencia de proliferação das células neuro-epiteliais primitivas, e de maior incremento das paredes dos tubulos, canais ou cavidades (Willis, 1936, pg. 413). Faltando tais detalhes em nosso material, excluimos a possibilidade de corresponderem a cistos neurogenicos.

O retinocitoma relatado por Ley (1938) é constituido por tecidos os mais variados: tecido cartilaginoso, células nevroglicas, células epiteliais dos tipos respiratorio e intestinal, e, finalmente, massas compostas de células particulares, com nitida disposição em roseta em torno de uma parte clara central, tal qual stefanocitos retinianos. Algumas de tais células encerram pigmento, e tais formações, características do retinocitoma, contêm, ainda, células do tipo retiniano, células coroidéas e células nevroglicas.

Pelo que ficou dito acima conclue-se que, tambem na literatura consultada sobre teratoma do ovario, não encontramos observação identica á nossa.

Não resta duvida de que a formação patologica verificada no ovario esquerdo do caso que publicamos, seja um teratoma.

Trata-se de um neoplasma benigno, provavelmente sem nenhum sintoma clinico.

Vejamos qual a interpretação que a ele damos.

Na classificação histologica dos tumores, os teratomas compreendem aqueles compostos de tecidos e orgãos oriundos de um, dois ou tres folhetos germinativos (tipos monodermico, bidermico e tridermico).

Heijl (1921) menciona que os teratomas cisticos são ordinaria-

mente formados por tecidos altamente diferenciados e se caracterisam, clinicamente, pela sua benignidade. Não é raro dominar, em sua constituição, um tecido sobre outros (Heijl, pg. 564).

A propósito dos teratomas císticos do ovario, diz o mesmo autor o seguinte: «Von den Sinnesorganen können besonders die Augenanlagen zuweilen einen überraschenden Grad von Entwicklung erreichen. Sie bestehen dann in der Regel aus einfachen oder paarigen Cysten, die entweder in die Zentralnervensubstanz eingebettet liegen oder durch Nervenbahnen mit dieser zusammenhängen. Sie sind zu äusserst von einer Bindegewebsslage begrenzt, mit Zellschichten, ähnlich dem Pigmentepithel der Retina austapeziert, und enthalten eine wasserhelle Flüssigkeit. Bisweilen findet man ausdifferenzierte Augenlider, Cornea und Linse» (pg. 587). Esboços oculares («Augenanlagen») são encontrados, tanto nos epignatas, teratomas sacros e inclusões fetais, como em teratomas das glandulas sexuais, embora aí apresentando desenvolvimento muito rudimentar (pg. 572).

Também Miller (1937) faz a seguinte alusão á formação de cristalino, em teratoma do ovario: «Als Gegenstück zu diesem viel erwähnten Fall wird im Schriftum öfter Meyers Befund eines augenlinnähnlichen Gebildes im Ovarium angeführt. Diese von vorherein nur als vielleicht möglich bezeichnete Deutung wird jedoch von Meyer seit langem nicht mehr aufrechterhalten. Der fragliche Körper ist vielmehr als Cholesteatomperle erkannt worden» (pg. 433).

Parece-nos oportuno recordar alguns pontos da histogênese do globo ocular.

As vesículas óticas primárias comunicam-se, a princípio, largamente com a cavidade geral do cérebro primitivo, posteriormente aproximando-se do ectoblasto superficial. As fases importantes imediatas constam de espessamento das paredes da vesícula, consequente á rápida multiplicação de suas células, invaginação dessa parte da parede, obliteração da cavidade da vesícula ótica primária, formação da vesícula ótica secundária e desenvolvimento da retina. Esta constitue, assim, uma porção modificada do próprio cérebro.

O cristalino origina-se do ectoblasto situado na região fronteiriça aquela em que se forma a vesícula ótica, em virtude de proliferação das células ectodérmicas, formação de uma depressão, a qual se transforma na vesícula cristalinica. A princípio em continuidade com o ectoblasto superficial, a vesícula cristalinica converte-se, posteriormente, em uma estrutura sólida.

A figura 6 mostra o globo ocular em um embrião de camundongo de 13 milímetros, e nela podemos apreciar as relações entre o crista-

lino e a retina. Nota-se uma tunica vasculosa entre retina e cristalino, transformação da vesicula cristalinica em estrutura solida e redução no numero de células epiteliais externas do cristalino.

Tendo origem de folheto embrionario diverso, é facil compreender que, em determinado teratoma, estruturas semelhando cristalino possam existir independentemente de outras semelhando a retina, e *vice-versa*.

Encontramos, no presente teratoma, estruturas organoides muito semelhantes ao cristalino.

O cristalino apresenta constituição histologica muito caracteristica, graças a fibras de configuração peculiar. O seu aspecto e disposição reciproca podem ser apreciados na figura 8, a qual representa o cristalino de embrião de galinha no decimo segundo dia de incubação. Entre as fibras do cristalino, na região equatorial, aparecem células do epitelio anterior.

Em outras fases de seu desenvolvimento, o arranjo das fibras cristalinicas não é tão caracteristico, conforme vemos na figura 7. Esta representa o cristalino em embrião de camondongo de 13 milimetros.

A estrutura fasciculada do conteúdo dos cistos, no teratoma que estudamos, é detalhe histologico conspicuo. O exame das figuras que documentam o presente trabalho demonstra, em nossa opinião, grande semelhança estrutural entre fibras do cristalino e fibras contidas nos cistos do teratoma.

Pensamos, assim, que a formação patologica encontrada no ovario esquerdo representa um teratoma oriundo, predominantemente de um folheto germinativo, o ectodérme, e mesmo de uma porção determinada do ectodérme, a qual corresponderia áquela em que se desenvolve, habitualmente, a placa do cristalino (« Linsenplatte »).

Compreende-se que não participem deste teratoma, outras estruturas do globo ocular, tais as correspondentes á cupola ótica (« Augenbecher »); com efeito, elas têm origem embriologica diversa da do cristalino, formando-se á custa da vesicula cerebral anterior (terceiro ventriculo).

A multiplicidade das estruturas figurando saculos cristalinicos (« Linsensäckchen »), com dimensões variaveis, é outro argumento em favor de uma origem de ponto restrito do ectodérme, o qual, habitualmente apresenta desenvolvimento determinado e especifico, qual o da formação do cristalino.

No teratoma em estudo, os saculos cristalinicos (« Linsensäckchen ») achar-se-iam em fase inicial de formação. Com efeito, em todos eles, independentemente do tamanho variavel que apresentam, nota-se uma cavidade separando as células epiteliais (as quais corresponderiam á pa-

rede anterior) das fibras cristalinicas (as quais formariam a parede posterior). É sabido que em fase mais adiantada da formação do cristalino, tal cavidade desaparece inteiramente (figura 6), vindo as fibras cristalinicas da parede posterior entrar em contacto direto com as células epiteliais da parede anterior. Os saculos transformam-se, dessa maneira, em uma estrutura solida.

Em alguns cistos, as fibras mostram o arranjo regular que caracteriza as fibras do cristalino (v. os tres cistos inferiores, na figura 4). Em outros, porém, as possiveis «Linsenfasern» não apresentam trajeto retilineo, não podendo a mesma fibra ser seguida em extensão consideravel do campo microscopico. O aspéto sugere divisões, subdivisões e fusionamento de laminulas (figura 2), tal como é referido na vida embrionaria (Szily).

Em apoio da hipótese que defendemos, da existencia de um teratoma lentifero, lembramos a facilidade com que estruturas semelhantes ao cristalino são obtidas, experimentalmente, quer á custa de complexos celulares embrionarios (regeneração do cristalino no bordo superior do iris do tritão (Colluci, Wolff, Spemann, etc.), quer em pesquisas pelo método da explantação (Kirby, Töro, etc.).

RESUMO

Em uma mulher, brasileira, de côr parda, com 48 anos de idade, morta com tuberculose do peritoneo, tuberculose peribronquica do lóbo superior do pulmão esquerdo e tuberculose cronica fibrosa do apice de ambos os pulmões, a necropsia revelou a existencia de um teratoma no ovario esquerdo. O ovario, pouco aumentado de volume, é constituído por duas porções de tamanho sensivelmente igual, de consistencia firme, separadas, em sua superficie, por profundo sulco. Ao corte, tem a aparençia de tecido fibroso em cuja espessura existem numerosos pequenos cistos.

Ao microscopio, os cistos são revestidos por epitelio descontinuo, despertando grande interesse o seu conteúdo. Este é formado por fibras e células com morfologia semelhante ás do cristalino.

Sugerimos a possibilidade de que, no presente teratoma (*Teratoma lentifer*, de *lens*, *lentis*: cristalino, e *ferre*: produzir) haja participado, de modo dominante, o ectodérme, e mesmo uma região circumscrita do ectodérme, a qual corresponderia aquela em que se desenvolve, habitualmente, a placa do cristalino («Linsenplatte»).

A multiplicidade e a presençá exclusiva de estruturas figurando saculos cristalinicos («Linsensäckchen») são argumentos a favor de uma origem de ponto restrito do ectodérme, destinado a desenvolvimento posterior específico, qual o da formação do cristalino.

ZUSAMMENFASSUNG.

Bei der Autopsie einer 48 jährigen Frau (Brasilianerin, Mischling) fand sich, neben einer Tuberkulose des Peritoneums, einer tuberkulösen Fibrose beider Lungenspitzen und einer Peribronchialtuberkulose des linken Lungen-Oberlappens, ein Teratom des linken Ovarium.

Dieses Organ ist wenig vergrössert; es besteht aus zwei derben Portionen von ungefähr gleicher Grösse, die durch eine tiefe Furche von der Oberfläche her getrennt sind. Die Schnittfläche bietet das Bild von Fasergewebe, in dem viele kleine Cysten eingebettet sind.

Die histologische Untersuchung zeigt, dass diese Cysten aus einem diskontinuierlichen Epithel zusammengesetzt sind. Besonders auffällig ist ihr Inhalt: er besteht aus Fasern und Zellen, deren Architektur an die der Augenlinse erinnert.

Wir möchten den Gedanken nicht abweisen, dass es sich bei dem vorliegenden Teratom um eine Bildung handelt, an deren Entstehung vorwiegend das Ektoderm beteiligt ist und zwar eine umschriebene Region des Ektoderm, nämlich die für die Linsenbildung bestimmte (« Linsenplatte »), so dass man das Teratom *Teratoma lentifer* (von *lens*, *lentis*: Linse, und *ferre*: tragen) benennen könnte.

Das mehrfache und ausschliesslich gleiche Auftreten der Strukturen, die das Bild von « Linsensäckchen » bieten, sind Argumente für ihre Herkunft aus einem umschriebenen Gebiet des Ektoderm, das für eine spätere spezifische Entwicklung bestimmt ist, wie das für die Bildung der Linse bestimmte Gebiet.

TRABALHOS CITADOS

BROMAN, J.

1911. Normale und Abnorme Entwicklung des Menschen. J. F. Bergmann-Wiesbaden.

COLLUCCI, cit. por SZILY, A. v.

1937. Linse, in Henke, F. & Lubarsch, O., Hand. d. spez. path. Anat. u. Histologie, **11** : 3.

CORNIL, L., CARCASSONE, MOSINGER, M. & PAILLAS, J.

1936. Sur un nouveau cas d'embryome de l'ovaire a structure nerveuse prédominante. Ann. d'Anat. Path., **13** : 529-534.

DWORZAK, H.

1935. Ein Beitrag zur Klinik des Disgerminoma ovarii. Zentralbl. f. Gynäk., **59** : 1282-1287.

GOSSET & MASSON, P.

1913. Névraxo-épithéliome de l'ovaire. Revue de Gynéc., **20** : 1-18.

HEIJL, C. F.

1921. Die Morphologie der Teratome (mit besonders Berücksichtigung der Zentralnervensubstanz). Virch. Arch., **223** : 561-627.

KIRBY, cit. por SZILY, A. v.

1937. Linse, *in Lubarsch, O. & Henke, F., Hand. d. spez. path. Anat. u. Histol.*, **11** : 3.

LEY, R. A.

1938. Embryome à évolution maligne du type rétinocytome. Bruxelles-Méd., **18** : 1514-1517.

LUKER, S. G.

1938. Large mesenteric cyst situated mainly behind the caecum and resembling an ovarian cyst-adenoma. Proc. Roy. Soc. of Med., **31** : 1388-1390.

MILLER, J.

1937. Die Krank. d. Eierstockes, *in Henke, F. & Lubarsch, O., Hand. d. spez. path. Anat. u. Hist.*, **7** : 3.

MULLER, G.

1934. Folliculome de l'ovaire. Bull. d. l'assoc. franç. p. l'étude du cancer, **23** : 350-357.

NOVAK, E.

1938. Masculinizing tumors of the ovary (arrhenoblastoma, adrenal ovarian tumors). Amer. J. Obst. a. Gynec., **36** : 840-858.

SPEMANN, cit. por SZILY, A. v.

1937. Linse, *in Lubarsch, O. & Henke, F., Hand. d. spez. path. Anat. u. Hist.*, **11** : 3.

SZILY, A. v.

1937. Linse, *in Lubarsch, O. & Henke, F., Hand. d. spez. path. Anat. u. Histol.*, **11** : 3.

TORO, cit. por SZILY, A. v.

1937. Linse, *in Lubarsch, O. & Henke, F., Hand. d. spez. path. Anat. u. Histol.*, **11** : 3.

TUNIS, B.

1934. Zwei Fälle von selteneren Ovarialtumoren. Wien. mediz. Wochenschr., **84** : 1110-1113.

WALLART, J. & SCHEIDECKER, S.

1936. Sur un cas de tumeur rare de l'ovaire: rhabdo-leio-myo-carcino-sarcome. Bull. Ass. Franç. p. l'étude du cancer, **25** : 808-831.

WILLIS, R. A.

1935. The structure of teratomata. Jour. Path. a. Bact., **40** : 1-36.

1936. The histogenesis of neural tissues in Teratomas. Jour. Path. a. Bact., **42** : 411-416.

WOLFF, cit. por SZILY, A. v.

1937. Linse, in Lubarsch, O. & Henke, O., Hand. d. spez. path. Anat. u. Histol., **11** : 3.

Estampa 1

Fig. 1 — Ovario esquerdo (necropsia n.º 3.625). Teratoma formado por cistos com estrutura semelhando cristalino em fase embrionaria de desenvolvimento. Os cistos, de dimensões variaveis, são inclusos em estroma conjuntivo semelhando a *cortex* ovariana. O cisto maior, revestido por epitelio cubico, discontinuo, mostra em seu interior, fibras semelhando as do cristalino, células e liquido albuminoso. Alterações regressivas em dois cistos menores. Aumento: 140 vezes.

Fig. 2 — Teratoma do ovario esquerdo (necropsia n.º 3.625). Estrutura fasciculada do conteúdo de um cisto. As fibras inserem-se em uma membrana conjuntiva, a qual constitue a parede do cisto, nesse ponto. Divisões, subdivisões e fusionamento das laminulas, tal como é referido no cristalino, na vida embrionaria. Aumento: 630 vezes.



Fig. 1

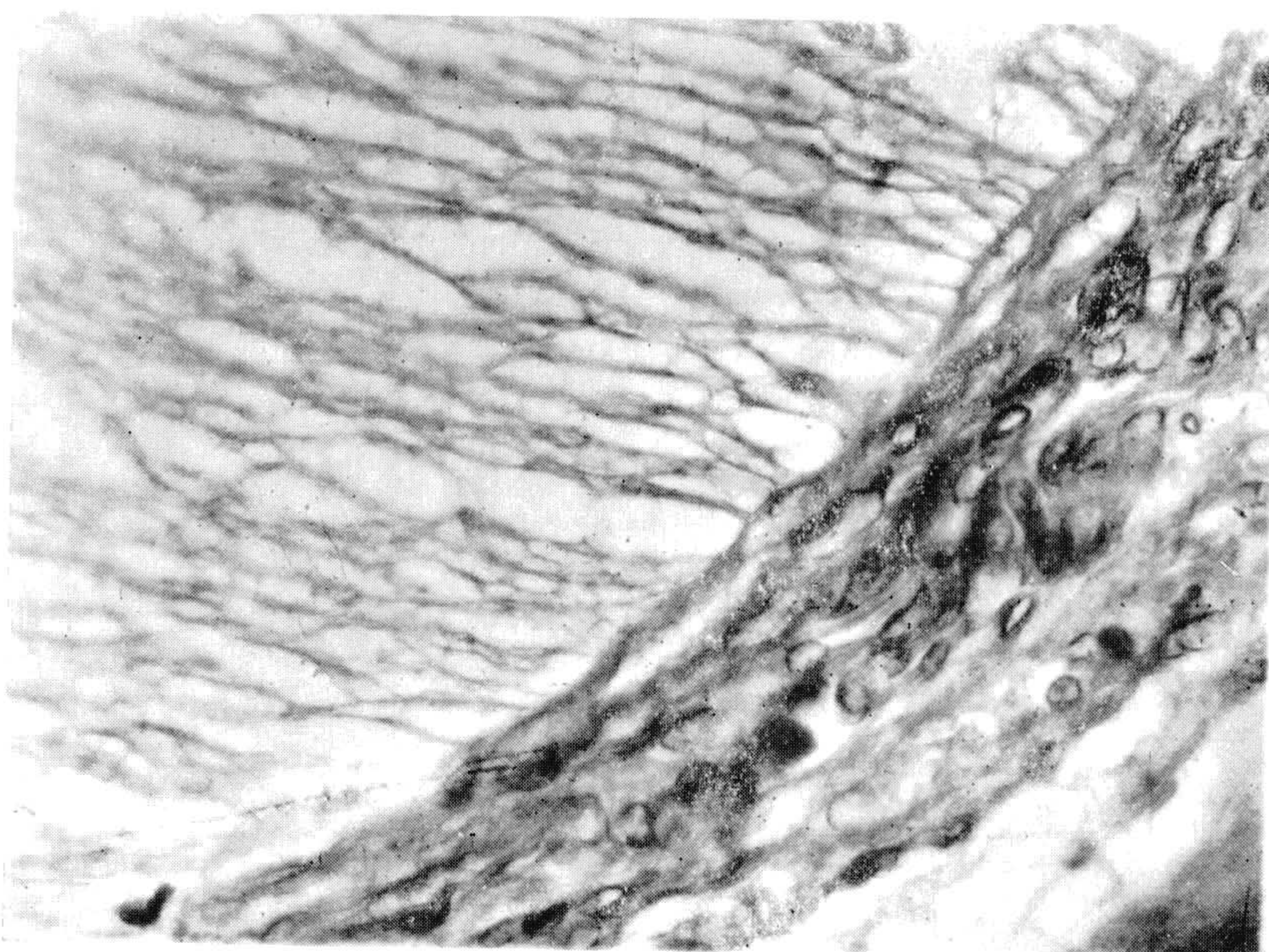


Fig. 2

Torres, Sampaio e Adler: Teratoma do ovario.

Estampa 2

Fig. 3 — Teratoma do ovario esquerdo (necropsia n.^o 3.625). Plasmodios ou gigantocitos multinucleados na parede interna de um cisto. Em cima, e á esquerda, fibras semelhando as do cristalino, as quais preenchem, ordinariamente, a cavidade dos cistos. Aumento: 630 vezes.

Fig. 4 — Teratoma do ovario esquerdo (necropsia n.^o 3.625). Em tres cistos, o conteúdo é constituido por fibras dispostas paralelamente, semelhando fibras do cristalino. Em um cisto, a cavidade mostra delgado estroma conjuntivo de permeio com as fibras cristalinicas. Gigantocito multinucleado na parede de outro cisto. Aumento: 140 vezes.

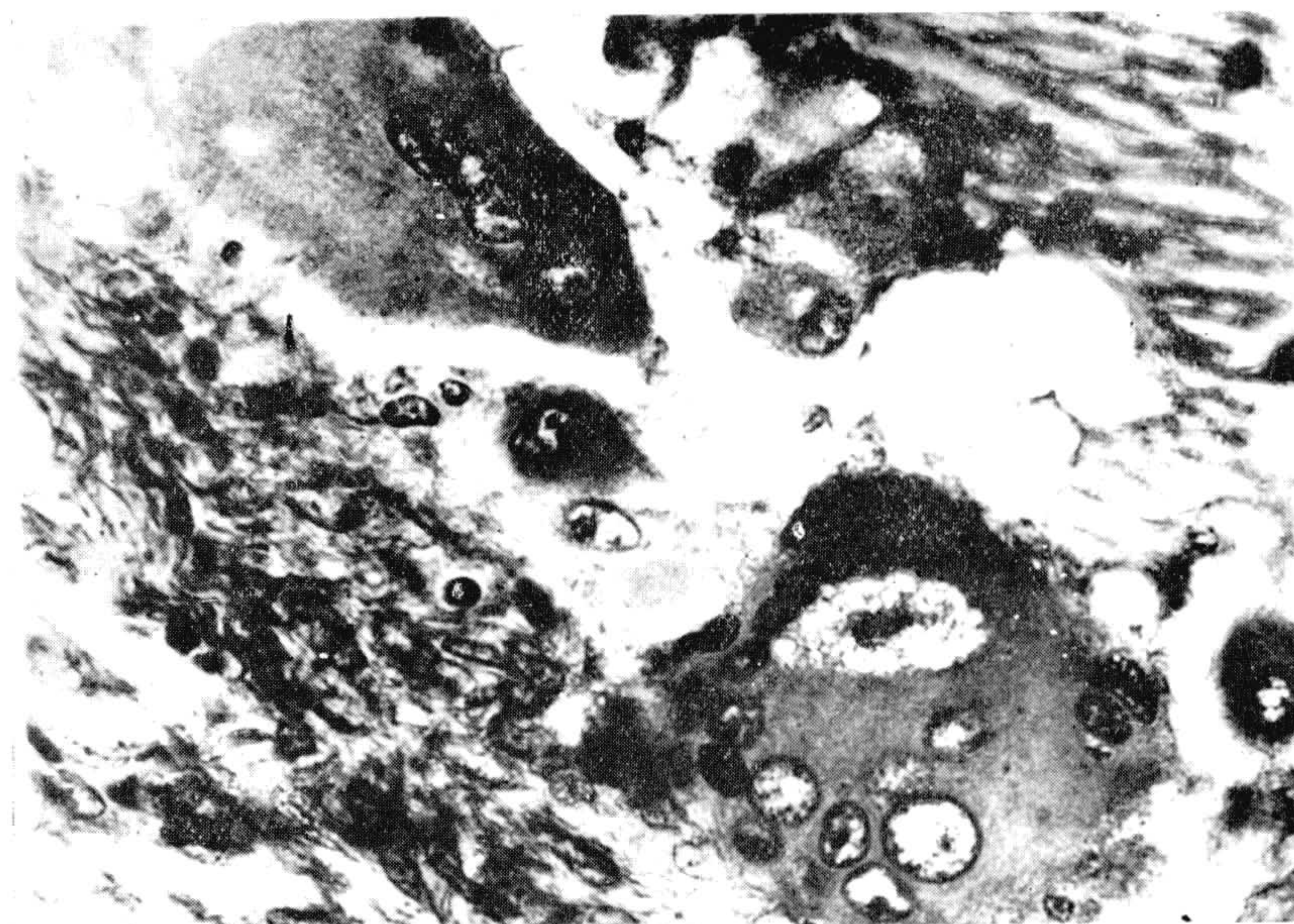


Fig. 3

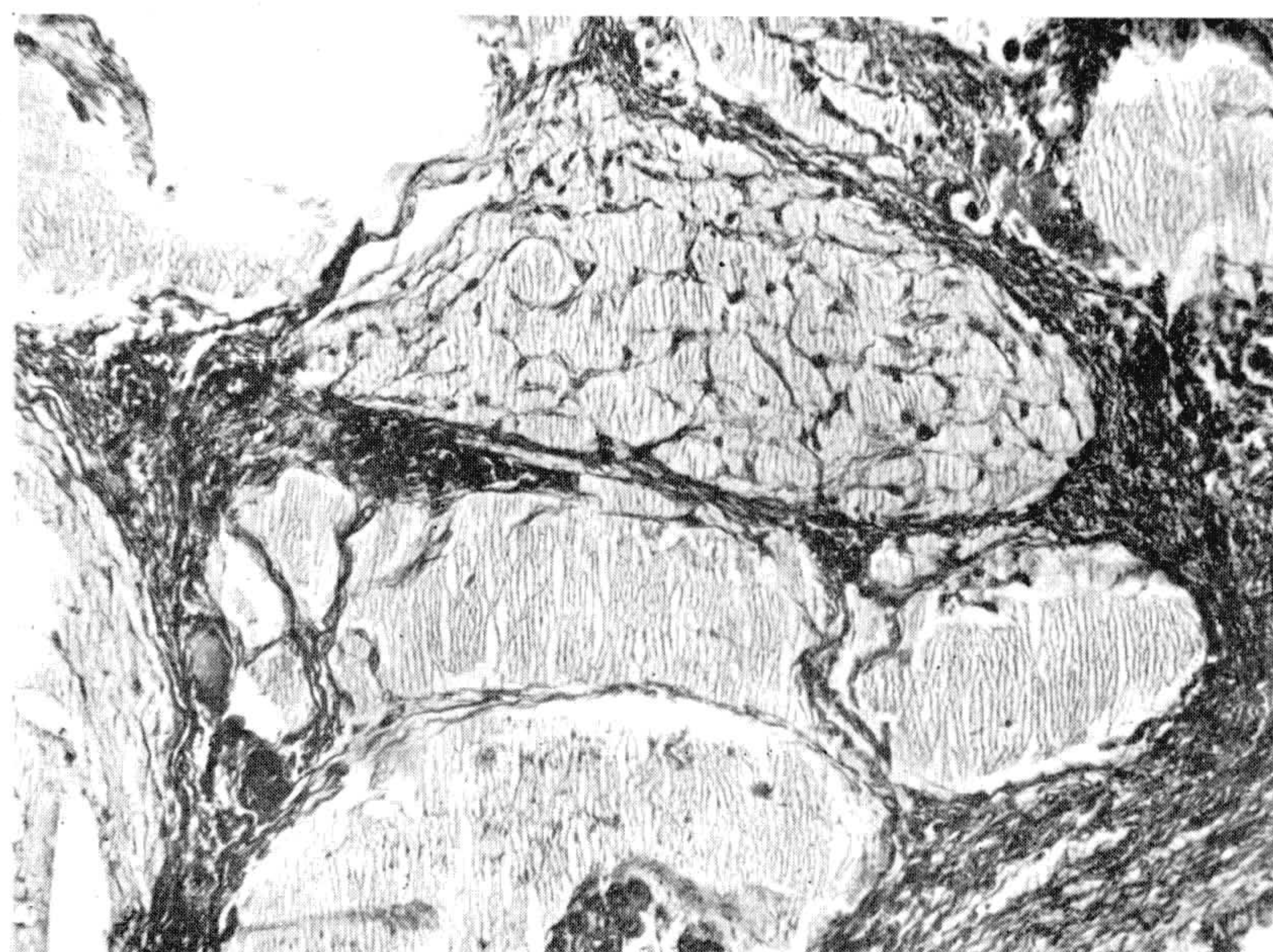


Fig. 4

Torres, Sampaio e Adler: Teratoma do ovario.

Estampa 3

Fig. 5 — Teratoma do ovario esquerdo (necropsia n.^o 3.625). Interior de um cisto mostrando delgado reticulo fibroso (fibrose ligada a alterações regressivas?) interposto entre o complexo fibrilar, este ultimo seme lhando fibras do cristalino. Aumento: 630 vezes.

Fig. 6 — Globo ocular de embrião de camundongo, de 13 milimetros. Cristalino separado da retina pela tunica vasculosa, mostrando desaparecimento da cavidade interna e redução no numero de suas células epiteliais externas (fase relativamente adiantada de desenvolvimento). Aumento: 105 vezes.

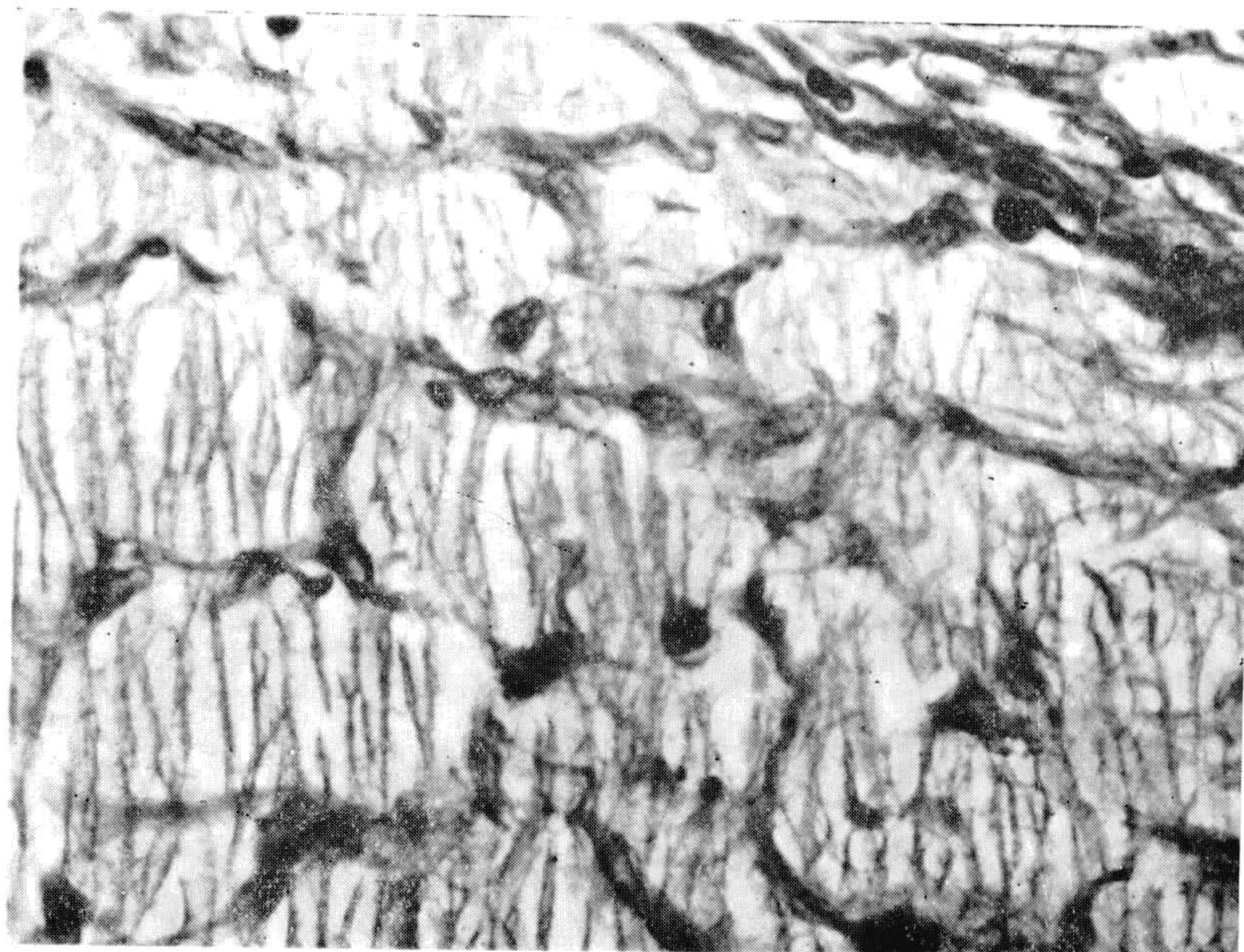


Fig. 5



Fig. 6

Torres, Sampaio e Adler : Teratoma do ovario.



Estampa 4

Fig. 7 — Globo ocular de embrião de camundongo de 13 milímetros. Divisões, subdivisões e fusionamento de laminulas do cristalino. Aumento: 630 vezes.

Fig. 8 — Cristalino de embrião de galinha no decimo segundo dia de incubação. Fibras do cristalino na região equatorial. Aumento: 630 vezes.

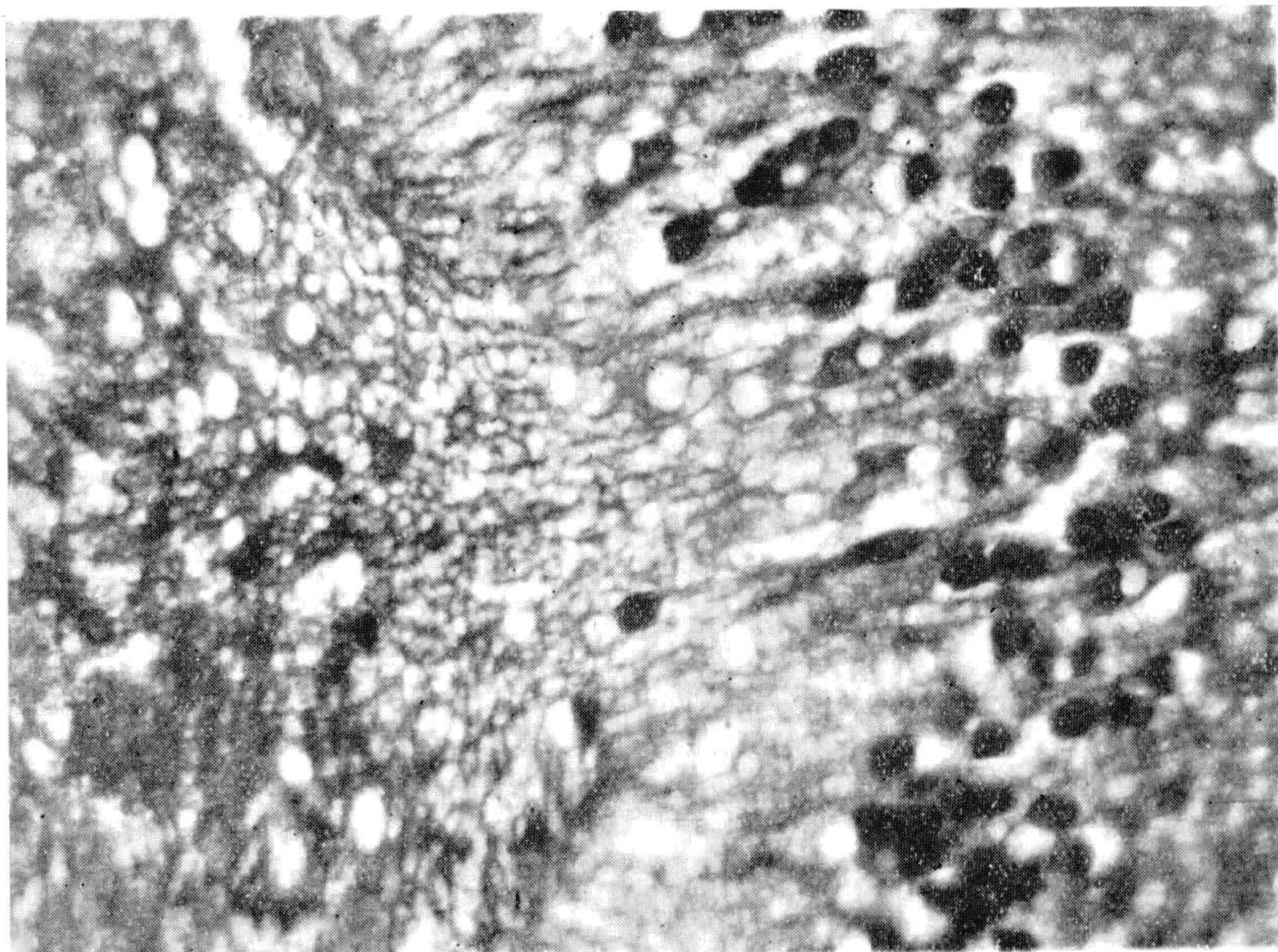


Fig. 7

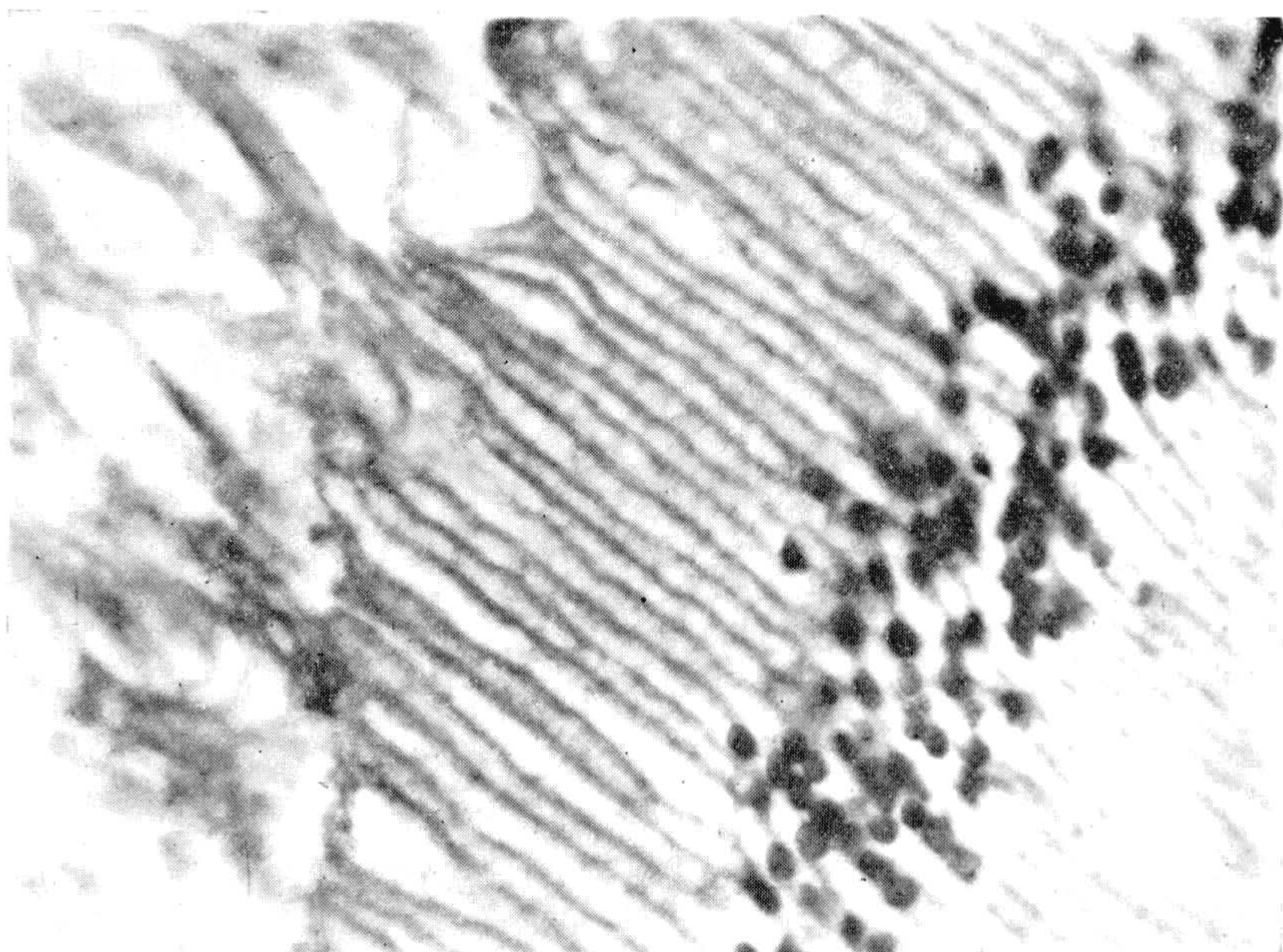


Fig. 8

Torres, Sampaio e Adler: Teratoma do ovario.